

WTNV125 –Calcul de rééquilibrage capillaire d'un bi-matériaux

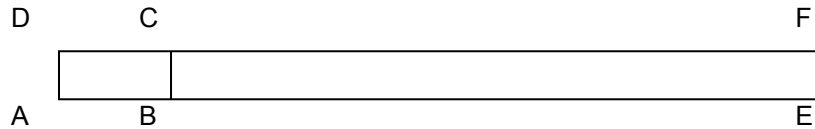
Résumé :

Ce cas test correspond à l'étude hydraulique simplifiée d'une tranche de terrain dans un site de stockage. Deux matériaux sont considérés : une barrière ouvragée (BO) et une barrière géologique (BG). Initialement la BO est désaturée et la BG saturée. On étudie ici le rééquilibrage capillaire de l'ensemble (ce qui correspond à la resaturation de la barrière ouvragée par la barrière géologique).

Ce cas-test est semblable au cas wtna100 (en version axisymétrique).

1 Problème de référence

1.1 Géométrie



Coordonnées des points (m) :

Point	X	Y
A	0,425	-10
B	1,1225	-10
C	1,1225	0
D	0,425	0
E	10	-10
F	10	0

La partie délimitée par $ABCD$ sera appelée BO et la partie $BEFC$, BG .

Pour la version 3D du test wtnv125 la géométrie est extrudée d'une épaisseur de $5,181 m$.

1.2 Propriétés du matériau

Les propriétés du matériau sont présentées dans le tableau ci-dessous.

Eau liquide	Masse volumique ($kg.m^{-3}$)	10^3
	Chaleur à pression constante ($J.K^{-1}$)	4180
	Coefficient de dilatation thermique du liquide (K^{-1})	10^{-4}
	Viscosité dynamique de l'eau liquide ($Pa.s$)	10^{-3}
Gaz	Chaleur massique ($J.K^{-1}$)	1000
	Masse molaire ($kg.mol^{-1}$)	0,02896
		$1,8. 10^{-5}$
Solide (BO)	Masse volumique ($kg.m^{-3}$)	2670
	Module d'Young drainé E (Pa)	$1,9.10^{20}$
	Coefficient de Poisson	0.2
État initial (BO)	Porosité	0,35
	Température (K)	293
	Pression de gaz (Pa)	1E5
	Pression de vapeur (Pa)	2320
	Pression capillaire initiale (Pa)	5.10^7 ($S=0,57$)

Coefficients homogénéisés (BO)	Masse volumique homogénéisée ($kg.m^{-3}$) Saturation Perméabilité intrinsèque (m^2) Perméabilité relative au liquide Perméabilité relative au gaz Chaleur massique ($J.K^{-1}$) Biot Conductivités thermique	2670 $S(P_c)=0.99(1-6.10^{-9}P_c)$ 10^{-20} $kr_w(S)=S$ $kr_{gz}(S)=1-S$ 482 1 $\lambda_S^T(S)=0.35 \cdot S$ $\lambda_T^T(S)=0.6$ $\lambda_{CT}^T(S)=0.728$
Solide (BG)	Masse volumique ($kg.m^{-3}$) Module d'Young drainé E (Pa) Coefficient de Poisson	2670 $1,9 \cdot 10^{20}$ 0.2
Etat initial (BG)	Porosité Température (K) Pression de gaz (Pa) Pression de vapeur (Pa) Pression capillaire initiale (Pa)	0,05 293 1E5 2320 $7 \cdot 10^7$ ($S=0,81$)
Coefficients homogénéisés (BG)	Masse volumique homogénéisée ($kg.m^{-3}$) Saturation Perméabilité intrinsèque (m^2) Perméabilité relative au liquide Perméabilité relative au gaz Chaleur massique ($J.K^{-1}$) Biot Conductivité thermique	2670 $S(P_c)=0.99(1-6.10^{-9}P_c)$ 10^{-19} $kr_w(S)=S$ $kr_{gz}(S)=1-S$ 706 1 $\lambda_S^T(S)=0.05 \cdot S$ $\lambda_T^T(S)=0.6$ $\lambda_{CT}^T(S)=1.539$

1.3 Conditions aux limites et chargements

Sur tous les bords : Flux hydraulique nul

Le seul moteur est ici la saturation d'un milieu par un autre.

2 Modélisation A

2.1 Caractéristiques de la modélisation A

Modélisation en axi-symétrie. La barrière ouvragée est maillée par 15 éléments HEXA20 et la barrière géologique par 59 éléments HEXA20, répartis progressivement sur toute la longueur.

Il s'agit ici d'une modélisation 3D_HHD.

2.2 Grandeurs testées et résultats

N° de noeud	Coordonnée	<i>PREI</i> <i>t = 1,E+06 s</i>	<i>PREI</i> <i>t = 1,E+07 s</i>	<i>PREI</i> <i>t = 1,E+08 s</i>	<i>PREI</i> <i>t = 1,E+09 s</i>
203	1,285	3.76E+007	4.57E+007	4.69E+007	4.51E+007
166	1,118	6.72E+007	5.36E+007	4.75E+007	4.51E+007

3 Modélisation B

3.1 Caractéristiques de la modélisation B

Il s'agit de la même modélisation que pour la modélisation A, mais en sélectif : 3D_HHS.

3.2 Grandeurs testées et résultats

N° de noeud	Coordonnée	<i>PREI</i> <i>t = 1,E+06 s</i>	<i>PREI</i> <i>t = 1,E+07 s</i>	<i>PREI</i> <i>t = 1,E+08 s</i>	<i>PREI</i> <i>t = 1,E+09 s</i>
203	1,285	3.76E+007	4.57E+007	4.69E+007	4.51E+007
166	1,118	6.72E+007	5.36E+007	4.75E+007	4.51E+007

4 Synthèse des résultats

Les résultats sont dans l'ensemble conformes à ce que l'on attend.